没水型長周期波対策工の消波特性に関する計算

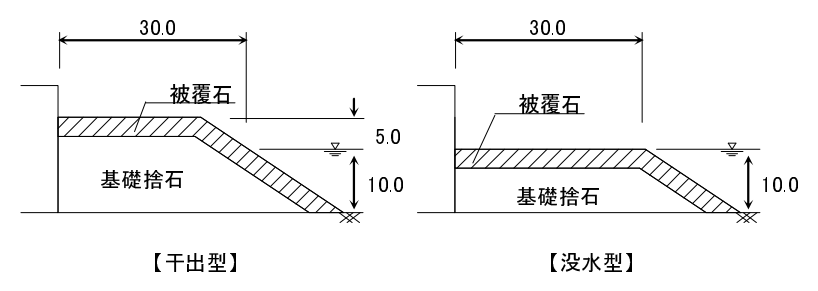
株式会社不動テトラ 正会員 〇松本 朗 株式会社不動テトラ 正会員 田中 真史 株式会社不動テトラ 正会員 半沢 稔

1. はじめに

港湾における長周期波対策の一つとして、防波堤の港内側にマウンド形式の消波構造物を設置する方法が挙げられる。著者らは最近、天端が静水面に位置する没水型長周期波対策工を提案し、その消波機能が従来の干出型より優れていることを確認するとともに¹⁾、越波に対する安定性についても検討している²⁾。従来の干出型が流れがマウンド内部の空隙を通過するときのエネルギー減衰に期待し、水面上にも大きなボリュームを有する構造体であるのに対して、没水型は構造物表面、特に天端での摩擦等によるエネルギー減衰を積極的に利用することを意図した構造である(図-1 参照)。没水型の消波特性は高く、代表的な条件で試算したところテトラポッド二層被覆形式の没水型構造は、被覆石による干出型のおよそ半分の構造物幅および約8割の工費で同等の消波性能を発揮することがわかっており、コスト縮減と中小港湾への適用性の向上が期待されている¹⁾。このように没水型の消波性能は高いが、消波の詳細なメカニズムは必ずしも明らかになっていない。今後、より高性能な構造への改良を図るためにも、メカニズムの解明は必須である。

マウンド周辺や内部の流速場は非常に複雑であり、基本的には水理模型実験結果および現地データの詳細な解析により解明されるべき問題である。しかし、精度の高い数値計算手法が開発された現時点では、まずその手法を用いてマウンド近傍の流れの様相を探ってみるのが有益であり、本格的研究の方向性を判断する手がかりを与えることになろう。本論文では、干出型と没水型のマウンド形式長周期波対策工周辺の流速場を数値計

算により検討した. はじめに, 既往の研究結果を用いて, 抗力係数と慣性力係数のキャリブレーションを行った. 次に, 干出型と没水型の反射率の再現計算を行い, マウンド周辺の流速場の比較により没水型の消波のメカニズムについて論じた.



2. 数值計算

図-1 マウンド形式長周期波対策工の断面例 (現地量、単位: m)

計算には数値波動水路 (CADMAS-SURF) を用いた. 基礎 方程式は二次元非圧縮性流体を対象とした連続式および Navier-Stokes 方程式をポーラスモデルに基づいて拡張 した運動方程式である.

(1) 抗力係数と慣性力係数のキャリブレーション

CADMAS-SURF では、流体が捨石構造から受ける抵抗力のモデルとして、①抗力係数 CD および慣性力係数 CM を使う方法と、②Dupuit-Forchheimer 則を使う方法の2つがある。前者の場合、榊山・鈴木³)による CD=1、CM=1.2がよく使われている。この値は常時水没している混成堤のマウンドに対して提案されたものであり、本研究で扱う長周期波対策工のように、捨石マウンド内で水面が変

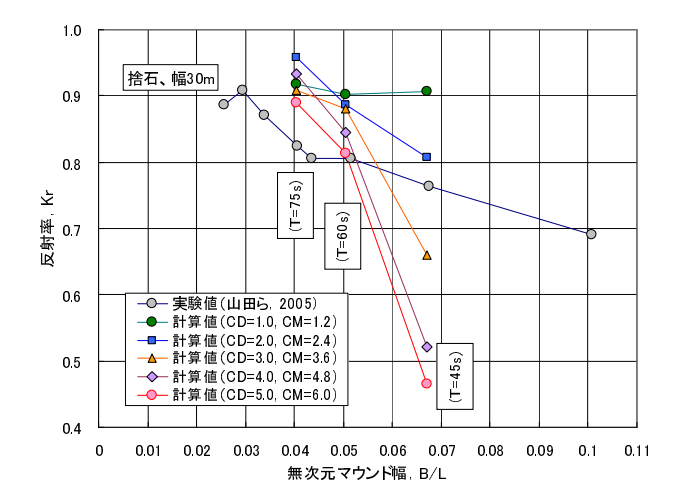


図-2 CDとCMのキャリブレーション結果

キーワード 港内長周期波,没水型対策工,数値解析,エネルギー減衰,抵抗則

連絡先 〒300-0006 茨城県土浦市東中貫町2-7 (株)不動テトラ 総合技術研究所 TEL029-831-7411

動する場合には計算精度に問題が残る。実際、いくつかの研究において傾斜堤を対象とした CD と CM のパラメータスタディーが行われている $^{4),5)}$. ここでは、山田ら $^{6)}$ の実験データのうち、周期 60 s のデータを対象に、CD と CM のキャリブレーションを行った。結果を**図-2** に示す。実験値は文献の図面から読み取った値である。無次元マウンド幅 B/L(B は静水面上のマウンド幅,L は波長)に対して反射率がプロットされており、対象周期の 60 s に関しては、CD と CM を榊山らの推奨値の 5 倍程度の値とすると反射率がほぼ再現されている。ただし、周期 75 s については、推奨値の 5 倍の値を用いても計算による反射率は実験値より 6 0.1 程度大きかった。逆に周期 45 s の場合は、計算による反射率は実験値を大きく下回った。これは琴浦ら 5 0の指摘にあるように抵抗力の格子間隔依存性の問題と考えられ、D-F 則の適用により解決される可能性がある。

(2) 実験結果の再現計算と流速場の考察

図-3に既報で報告した反射率1の再現計算結果を示す. ここでは、CD=4.0、CM=4.8 およびCD=5.0、CM=6.0 の 2 通 りの組み合わせで計算を行った.これらの抗力係数と慣 性力係数を用いることにより、反射率の絶対値は実験と 多少異なるものの、没水型と干出型の反射率の大小関係 や、波高に対する反射率の変化傾向など、計算値は実験 値をほぼ再現していると言える.

図-4 は没水型マウンド周辺の流速場のスナップショッ トを示したものであり, CD=5.0, CM=6.0 の場合の結果で ある. 左側が港内側であり長周期波は左から右へ進行す る. 右端がケーソンの直立壁である. (a) はマウンドへ入 射した長周期波が天端上を伝播してその先端がケーソン 壁面へ衝突した瞬間である。天端上の薄い水の層内で、 鉛直方向に大きな速度勾配を持つ流れになっているのが わかる. (b) はケーソンからの反射波が港内側へ戻り始め る瞬間である. 流れは右回りの渦を伴いながら左側へ進 んでおり、この渦構造により流れのエネルギーが消費さ れることが想定される. 天端上の流れは(c), (d)で乱れ を伴いながら左側へ進み, (e)で港内側の水域へ放出され る.このとき、斜面上で左周りの渦構造が形成されるの が見て取れる. この渦構造もエネルギーの消費に寄与す るものと思われる. ここに述べた現象が複合された効果 により、没水型の高い消波効果が実現されているものと 考えられる.

3. おわりに

本研究では消波特性に関する数値計算を行い,没水型構造の消波メカニズムについて考察した.今後抵抗則にD-F 則を適用するなど計算精度の向上を図り,より詳細なメカニズムの解明を図っていきたい.

1.0 T=60s 被覆石構造 0.9 (干出型) 0.8 (没水型) 掛 0.7 区 0.6 0.5 計算値(CD=4.0, CM=4.8) 計算値(CD=5.0, CM=6.0) 0.40.0 0.5 1.0 1.5 2.0 波高, H(m)

図-3 反射率の再現計算結果

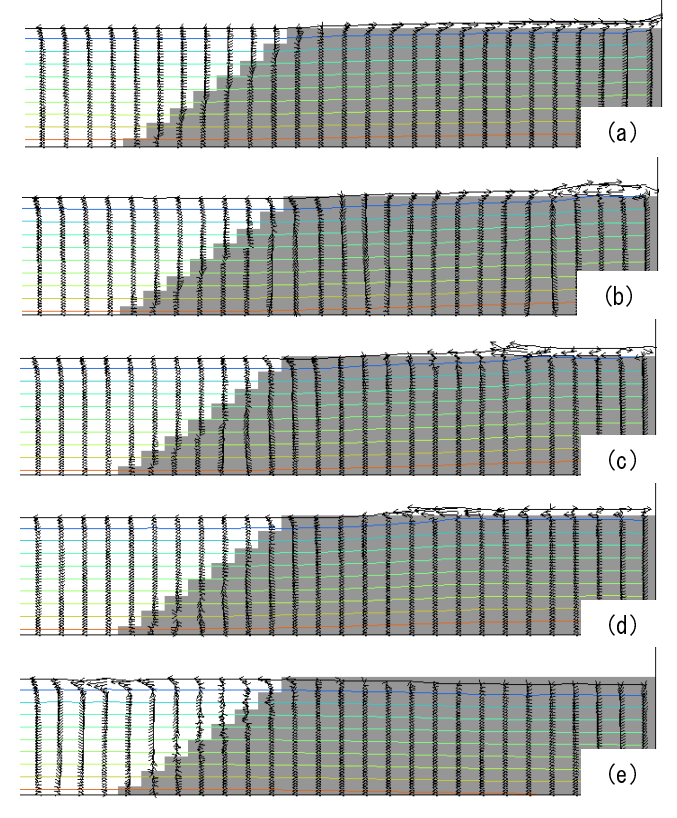


図-4 没水型マウンド周辺の流速場

参考文献

1)田中ら(2012): 土論B3 (海洋開発),第68巻, pp.I_816-I_821., 2)田中ら(2013): 土論B3 (海洋開発),第69巻,(投稿中),3)榊山・鈴木(1998):海工論文集,第45巻, pp.566-570.,4)合田・松本(2003):海洋開発論文集,第19巻, pp.529-534.,5)琴浦ら(2008):海洋開発論文集,第24巻,pp.1029-1034.,6)山田ら(2005):海洋開発論文集,第21巻,pp.785-790.